



# Incrocio Dalmasso VI/24

Carlomagno A., Ferrandino A., Ruffa P., Raimondi S., Novello V. (2014) - Incrocio Dalmasso VI/24. In: Italian Vitis Database, www.vitisdb.it, ISSN 2282-006X

release 13/07/2015, ultimo aggiorn. 13/07/2015 url <http://vitisdb.it/accessions/show/16462>

## Informazioni gestite da

Dipartimento di Scienze Agrarie, Forestali e Alimentari - Università degli Studi di Torino

## Ringraziamenti

Ager IVD; Istituto di Istruzione Superiore di Stato 'Umberto I' - Alba (CN)

## Informazioni generali

**nome** Incrocio Dalmasso VI/24 **codice** ITA424-060  
**nazione di selezione** Italia **regione di selezione** Piemonte  
**provincia di selezione** non disponibile **località di selezione** non disponibile  
**istituzione custode** Dipartimento di Scienze Agrarie, Forestali e Alimentari - Università degli Studi di Torino  
**collezione** Campo collezione Ampelion - Alba (CN)

## Varietà & clone

**tipo di origine** incrocio intraspecifico **genere** Vitis  
**specie** Vitis vinifera **sub specie** sativa  
**varietà** Incrocio Dalmasso VI/24 **codice della varietà** IVD-var\_286  
**clone** non disponibile

**trueness to type** accertato con rilievi morfologici e microsatelliti

## Trueness to type

### True-name

confermato **si**

### Trueness to type accertato con rilievi morfologici (ampelografici)

accertamento con rilievi morfologici (ampelografici) **accertato**

### Trueness to type accertato con microsatelliti

accertamento con microsatelliti **accertato**

loci confrontati n.d.

loci identici n.d.

discrepanze n.d.

## Profilo microsatellite standardizzato

loci:	loci predefiniti ( 9 )																	
locus SSR:	VVS2		VVMD5		VVMD7		VVMD27		VrZAG62		VrZAG79		VVMD25		VVMD28		VVMD32	
allele:	A1	A2	A1	A2	A1	A2	A1	A2	A1	A2	A1	A2	A1	A2	A1	A2	A1	A2
dimensione:	133	143	225	235	239	249	185	195	194	204	251	257	240	256	237	271	241	241

## Immagini



germoglio



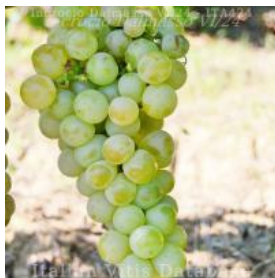
foglia



foglia pagina superiore



foglia pagina inferiore



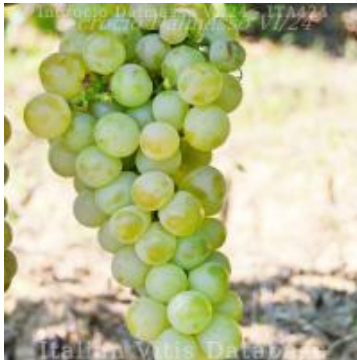
grappolo



acino

## Ampelografia

OIV	descrizione	valore		immagini
001	Giovane germoglio: apertura dell'apice	5	completamente aperto	
003	Giovane germoglio: intensità della pigmentazione antocianica dei peli striscianti dell'apice	1 / 3	nulla o molto bassa / bassa	
004	Giovane germoglio: densità dei peli striscianti dell'apice	3	bassa	
007	Germoglio: colore del lato dorsale degli internodi	2	verde e rosso	
008	Germoglio: colore del lato ventrale degli internodi	1	verde	
016	Germoglio: numero di viticci consecutivi	1	2 o meno	
051	Foglia giovane: colore della pagina superiore del lembo (4 a foglia)	3	bronzato	
053	Foglia giovane: densità peli striscianti tra le nervature principali della pagina inferiore (4a foglia)	5	media	
065	Foglia adulta: dimensione del lembo	5 / 3	medio / piccolo	
067	Foglia adulta: forma del lembo	4	orbicolare	
068	Foglia adulta: numero dei lobi	3	cinque	
070	Foglia adulta: distribuzione pigmentazione antocianica nervature principali pagina superiore	1	assente	
072	Foglia adulta: depressioni del lembo	1	assenti o molto deboli	
074	Foglia adulta: profilo del lembo in sezione trasversale	1 / 2	piano / a V	
075	Foglia adulta: bollosità della pagina superiore del lembo	3 / 5	bassa / media	
076	Foglia adulta: forma dei denti	3 / 5	entrambi i lati convessi / misto tra entrambi i lati rettilinei (livello 2) e entrambi i lati convessi (livello 3)	
078	Foglia adulta: lunghezza dei denti in rapporto alla loro larghezza	5 / 7	medi / lunghi	
079	Foglia adulta: grado di apertura / sovrapposizione dei bordi del seno peziolare	3	aperto	
080	Foglia adulta: forma della base del seno peziolare	1 / 3	a U / a V	
081-1	Foglia adulta: denti del seno peziolare	1	assenti	
081-2	Foglia adulta: base del seno peziolare delimitata dalla nervatura	1	non delimitata	
083-2	Foglia adulta: denti nei seni laterali superiori	1	assenti	
084	Foglia adulta: densità dei peli striscianti tra le nervature	1 / 3	nulla o molto bassa / bassa	

	principali sulla pagina inferiore del lembo			
087	Foglia adulta: densità dei peli eretti sulle nervature principali della pagina inferiore del lembo	1	nulla o molto bassa	
094	Foglia adulta: profondità dei seni laterali superiori	1	assente o molto poco profondo	
151	Fiore: organi sessuali	3	stami completamente sviluppati e gineceo completamente sviluppato	
202	Grappolo: lunghezza (escluso il peduncolo)	5	medio	
204	Grappolo: compattezza	7 / 9	compatto / molto compatto	
206	Grappolo: lunghezza del peduncolo del grappolo principale	1	molto corto	
208	Grappolo: forma	2	conico	
209	Grappolo: numero di ali del grappolo principale	2	1 - 2 ali	
220	Acino: lunghezza	5 / 7	medio / lungo	
221	Acino: larghezza	5 / 7	medio / largo	
223	Acino: forma	2	sferoidale	
225	Acino: colore della buccia	1	verde giallo	
235	Acino: consistenza della polpa	1 / 2	molle / leggermente soda	
236	Acino: particolarità dell'aroma	1	nessuna	
241	Acino: sviluppo dei vinaccioli	3	completo	

### Ampelometria

OIV

nessun descrittore presente per Incrocio Dalmasso VI/24

## Superampelo

distanze		
descrittore	valore	deviazione standard
Distanza tra estremità di N2 e estremità della prima ramificazione laterale di N2	26.067	4.722
Distanza tra estremità di N2' e estremità della prima ramificazione laterale di N2'	29.833	8.177
Distanza dal seno peziolare al seno inferiore destro	26.750	3.893
Distanza dal seno peziolare al seno inferiore sinistro	28.417	1.992
Distanza dal seno peziolare al seno superiore destro	28.533	3.024
Distanza dal seno peziolare al seno superiore sinistro	31.083	5.113
Nervatura N3, lunghezza dal seno peziolare alla nervatura N4	6.933	0.995
Nervatura N3', lunghezza dal seno peziolare alla nervatura N4'	6.950	0.635
Lunghezza della nervatura N5	8.783	2.287
Lunghezza della nervatura N5'	7.633	2.058
Lunghezza della nervatura N4	21.233	3.999
Lunghezza della nervatura N4'	21.733	2.307
Larghezza della foglia	82.633	8.500
Lunghezza della foglia	94.033	6.502
Lunghezza del picciolo	55.383	6.538
Lunghezza della foglia compreso il picciolo	124.550	8.980
Distanza tra gli estremi delle nervature N2 e N2'	82.717	8.658
Lunghezza della nervatura N1	69.167	2.829
Distanza tra gli estremi delle nervature N4 e N4'	27.683	5.211
Distanza tra gli estremi delle nervature N3 e N3'	72.400	2.591
Lunghezza della nervatura N2	54.083	2.459
Larghezza del seno peziolare / Distanza tra i punti SP e SP'	-10.067	4.049
Lunghezza della nervatura N3	37.950	3.614
Lunghezza della nervatura N2'	56.367	3.727
Lunghezza della nervatura N3'	37.700	1.796

angoli		
descrittore	valore	deviazione standard
Angolo tra N1 e N2 misurato alla prima biforcazione	66.617	5.919
Angolo tra N2 e N3 misurato alla prima biforcazione	52.417	5.600
Angolo tra N1 e N2' misurato alla prima biforcazione	65.033	3.965
Angolo tra N3 e N4 alla prima biforcazione di N3	49.100	6.070
Angolo tra N2' e N3' misurato alla prima biforcazione	51.533	6.594
Angolo tra N1 e N2 misurato agli estremi delle nervature	45.633	4.439
Angolo tra N3' e N4'	55.767	3.832
Angolo tra N2 e N3 misurato agli estremi delle nervature	58.950	5.784
Angolo tra N1 e N2' misurato agli estremi delle nervature	51.400	6.154
Angolo tra N3 e N4 misurato agli estremi delle nervature	43.050	9.472
Angolo tra N2' e N3' misurato agli estremi delle nervature	56.000	4.208
Angolo di apertura del seno peziolare misurato a SP e SP'	48.017	21.480
Angolo tra N3' e N4' misurato agli estremi delle nervature	42.067	4.768
Angolo tra S e S' con centro in N1	44.817	7.770
Angolo tra D e D' con centro in N1	90.083	6.032
Angolo tra I e I' con centro in N1	41.333	1.122

rapporti		
descrittore	valore	deviazione standard
Media della base dei denti del lato sinistro	5.567	0.519
Media della base dei denti del lato destro	5.778	0.588
Media dell'altezza dei denti del lato sinistro	3.866	0.577
Rapporto tra l'altezza e la base del dente all'estremità della nervatura N4'	0.805	0.180
Media dell'altezza dei denti del lato destro	3.840	0.351
Rapporto tra Lunghezza e larghezza della foglia	1.142	0.063
Rapporto tra la somma degli angoli a' + b' e la somma della distanza tra il seno peziolare e il seno superiore sinistro OS' e il seno peziolare e il seno inferiore sinistro OI'	0.034	0.002
Rapporto tra la somma degli angoli a + b e la somma della distanza tra il seno peziolare e il seno superiore destro OS e il seno peziolare e il seno inferiore destro OI	0.038	0.003
Rapporto tra l'altezza e la base dei denti del lato sinistro	0.694	0.068
Rapporto tra l'altezza e la base dei denti del lato destro	0.669	0.077
Rapporto tra l'altezza e la base del dente all'estremità della nervatura N2'	1.005	0.166
Rapporto tra l'altezza e la base del dente all'estremità della nervatura N2	0.951	0.205
Rapporto tra l'altezza e la base del dente all'estremità della nervatura N4	0.819	0.051

### Fenologia & produzione

OIV	descrizione	valore	
301	Epoca di germogliamento	3	precoce
302	Epoca di fioritura	3	precoce
303	Epoca d'inizio dell'invaiaura	3	precoce
304	Epoca di maturazione fisiologica dell'acino	3	precoce
452	Foglia: grado di resistenza alla Plasmopara	7	elevato
453	Grappolo: grado di resistenza alla Plasmopara	5	medio
455	Foglia: grado di resistenza all'Oidio	7	elevato
456	Grappolo: grado di resistenza all'Oidium	5	medio
458	Foglia: Grappolo: grado di resistenza alla Botrytis	7	elevato o molto elevato
459	Grappolo: grado di resistenza alla Botrytis	5	medio
501	Percentuale di allegagione	7	elevata
503	Acino: peso di un acino	5	medio (4,5-5,5 g)
505	Tenore in zucchero del mosto	5	medio (17,2-18,8)
506	Acidità totale del mosto	5	media (8,2-9,8)
508	pH del mosto	5	medio (3,2-3,3)

### Vegeto-produttivo

nessun descrittore presente per Incrocio Dalmasso VI/24

### Polifenoli uve

nessun descrittore polifenolico presente per Incrocio Dalmasso VI/24

### Aromi uve

nessun descrittore aromatico presente per Incrocio Dalmasso VI/24

### Altri descr.

nessun "altro" descrittore disponibile per Incrocio Dalmasso VI/24

### Bibliografia correlata (1)

autori	anno	titolo	rivista	citazione
Dalmasso G.		Quaderno degli Incroci ad uva da tavola (Manoscritto)		Dalmasso G., Quaderno degli Incroci ad uva da tavola (Manoscritto)

### Accessioni della medesima varietà (1)

- Incrocio Dalmasso VI/24 - Dipartimento di Scienze Agrarie, Forestali e Alimentari - Università degli Studi di Torino